## パターニング溶融転写法を用いた鎖長の異なる

アルキル基を有するナフタレンジイミド誘導体融液のメニスカス力の定量化 Quantification of Meniscus Force of Naphthalene Diimide Derivative Melts with Alkyl Groups of Different Chain Lengths by Patterning Melt Transfer Method

信州大・繊維<sup>1</sup>, 大日精化工業<sup>2</sup> ○(M1)三浦 佑介<sup>1</sup>, 金森 アヌーシュ<sup>1</sup>, 平田 直殺<sup>2</sup>, 小熊 尚実<sup>2</sup>, 市川 結<sup>1</sup> Shinshu University<sup>1</sup>, Dainichiseika Color&Chemicals Mfg. Co., Ltd<sup>2</sup>

Yusuke Miura, Anoush Kanamori<sup>1</sup>, Naoki Hirata<sup>2</sup>, Naomi Oguma<sup>2</sup>, Musubu Ichikawa<sup>1</sup> E-mail: musubu@shinshu-u.ac.jp

[緒言] 有機半導体の製膜には真空蒸着法、溶液塗布法など様々な方法が知られており、そ の中でも溶融転写法は、無溶媒プロセスで環境負荷が少なく、低コスト化、大面積化の可能 性を期待されている〔1,2〕。この溶融転写法の先行研究において、スペーサーとしてパター ン化されたフォトレジストを用いた際、Fig. 1のように転写薄膜の上面がへこむことが見 出され、このへこみがメニスカス力によって生じている可能性が示唆された〔3〕。 そこで、本研究では、鎖長の異なるアルキル基を有するナフタレンジイミド誘導体 NTCDI-Cn (n=8,11,12,13,15,18)(Fig. 2) を試料とし、転写膜の形状を解析し、メニスカス力を定 量化するとともに、アルキル鎖長や融点などが、溶融転写特性やメニスカス力に与える影響



を明らかにすることを試みた。

Fig.1. The AFM image of the surface topology of the transfer-printed film.

$$H_{2n+1}C_n-N$$
 $O$ 
 $N-C_nH_{2n+1}$ 

Fig.1. Chemical structure of NTCDI-C n (n=8, 11, 12, 13, 15, 18).

[実験] 平滑な表面を有するポリイミドフィルムを用い、フォトレジストを用いてパターン を作製し、フッ素系ポリマーで撥液処理を行い転写版とした。その転写版とシリコン基板の 間に有機半導体粉末を挟み込み、融点以上に加熱し、一時間保持後、徐冷し薄膜を形成した。 AFM によって表面のへこみを評価した。

〔結果・考察〕フィルムの最大へこみ wは、均一荷重 下での両端固定梁のたわみを表す式を用いて、へこみ とライン幅の実測値をフィッティングし、メニスカス 力を求めた。近似曲線と実測値の一致度は相関係数 R ²で評価した。(Fig. 3) ここで、P はメニスカス力に由 来する均一荷重を表す。また、dはライン幅、E,hは ポリイミドフィルムのヤング率、厚さである。 $\Delta T$ (処 理温度―融点)が一定以上であれば、良好なフィッテ ィングが得られ、低いと良い一致は見られなかった。 △T が小さいとき、有機半導体融液の粘度が高いと

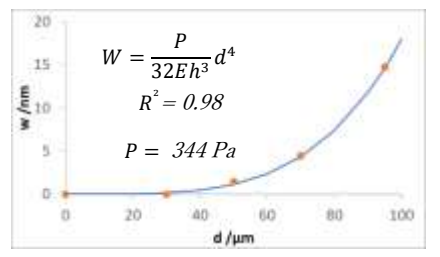


Fig.3. A relationship between w and d and the fitting results used the equation.

予想され、熱処理時間内に融液の流動が完了せず、上式をへこみの解析に利用できなかった ためと考えた。当日は、デバイス特性などの結果についても併せて報告し議論する。

【謝辞】本研究は科研費(20K04576)の助成を受けたものである。

- [1] A. Ohyama et al., Org. Electron., 58, 231-237 (2018).
- [2] A. Ohyama et al., Org. Electron., 63, 300–304 (2018).
- [3] A.Kanamori *et al.*,秋季応用物理学会、21a-B32-8 (2019)